

8. Камке Э. Справочник по обыкновенным дифференциальным уравнениям. М.: Наука, 1971.
9. Козлов Н. И. Точное решение одной задачи о распространении радиоимпульса в непроводящей среде.— В кн.: Численные методы решения задач математической физики. М.: Наука, 1966.
10. Прудников А. П., Брычков Ю. А., Маричев О. И. Интегралы и ряды. Специальные функции. М.: Наука, 1983.

*Поступила 25/X 1984 г.*

УДК 534.222.2

## ЭЛЕКТРОМАГНИТНОЕ ПОЛЕ, ВЫЗВАННОЕ УДАРНОЙ ВОЛНОЙ, РАСПРОСТРАНЯЮЩЕЙСЯ В КОНДЕНСИРОВАННОЙ СРЕДЕ

*B. B. Сурков  
(Москва)*

Многими исследователями отмечалось возникновение электромагнитного поля при ударном сжатии твердых тел [1, 2]. Импульс тока во внешней цепи [1] и сигнал в приемной антенне [2] регистрировались с момента образования ударной волны (УВ) до выхода ее из образца. Наблюдались также электромагнитные возмущения земного поля в эпицентре землетрясений [3]. Это явление изучалось в [3—6] с целью прогноза землетрясений. Спектр сигнала приходится на область низких частот (до нескольких мегагерц), причем эффект наблюдается во всех веществах: металлах, диэлектриках, полупроводниках, пластилине, песке и т. п., хотя в некоторых случаях явление имеет пороговый характер. Данный эффект объясняется движением различного рода дефектов структуры (точечных [1], дислокаций и трещин [5, 6]), а также электризацией породы в процессе разрушения [7—9].

В настоящей работе используется модель ударной поляризации вещества в УВ, аналогичная предложенной в [1]. Рассматривается почти сферическая УВ, причем учитывается зависимость степени поляризации от давления и уширения фронта УВ. Возникновение электромагнитного поля обусловлено поляризационными токами во фронте волны. Оценивается амплитуда сигнала на поверхности раздела двух сред (ближняя зона). Исследуется форма сигнала и особенности его спектра в зависимости от времени релаксации поляризации, характерного времени развития УВ, ее амплитуды и параметров среды.

Рассмотрим близкую к сферической УВ, распространяющуюся в слабопроводящем полупространстве. Считаем, что за фронтом УВ вещество поляризуется в радиальном направлении. Причем поляризация среды обладает слабой асимметрией, что может быть, например, связано с неоднородностью среды, неравномерным развитием трещиноватости, слабой несимметрией фронта УВ, влиянием силы тяжести и т. д. Не конкретизируя механизм поляризации среды, будем описывать ее выражением вида

$$(1) \quad P(r, \theta, t) = P_0(r) (1 + \beta \cos \theta) (1 - e^{-(t-t_0)/\tau}) e^{-(t-t_0)/\tau_p} \eta(t-t_0),$$

где  $\beta$  — малый параметр, учитывающий асимметрию относительно некоторого направления;  $t_0 = (r-a)/v$  — момент прихода УВ в данную точку  $r, \theta$ ;  $v = \text{const}$ ;  $a$  — радиус, на котором формируется заряд на УВ;  $\eta(t-t_0)$  — единичная функция;  $\tau$  и  $\tau_p$  — характерные времена нарастания и релаксации импульса поляризации. Влиянием движения вещества за фронтом УВ пренебрегаем. Амплитуда поляризации  $P_0(r)$  в плоской УВ примерно пропорциональна давлению  $D$  на фронте, т. е.  $P_0 = AD$  [1], где (например, для NaCl)  $A \sim 3 \cdot 10^{-6}$  Кл/м<sup>2</sup> ГПа.

Учитывая, что пиковое давление в сферической УВ меняется с расстоянием по степенному закону, запишем

$$(2) \quad P_0(r) = A D_* (a/r)^n.$$

Здесь  $D_*$  — начальное давление на фронте УВ, показатель степени  $n \approx 2$  для пластической волны, а для упругой  $n \approx 1$ . Длительность фронта УВ  $\tau$  обратно пропорциональна амплитуде давления [10], поэтому можно принять  $\tau = \tau_\phi(r/a)^n$ . Характерное время  $\tau_p \sim 10^{-3} - 10^{-6}$  с опре-

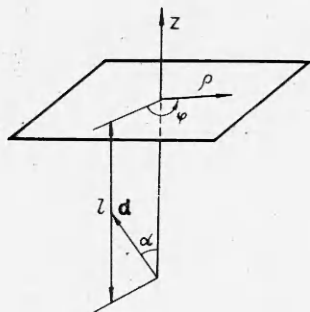


Рис. 1

деляется, по-видимому, в большей степени не шириной фронта УВ, а внутренними механизмами поляризации вещества. Так, для полярных диэлектриков  $\tau_p$  — это типичное время тепловой разориентации молекулярных диполей, для ионных кристаллов релаксация обусловлена проводимостью  $\tau_p \sim \varepsilon\varepsilon_0/\sigma$ , где  $\sigma$  — ионная электропроводность,  $\varepsilon$  — диэлектрическая проницаемость.

Рассмотрим область, охваченную УВ, в качестве эффективного излучателя. Дипольный момент такой системы при  $t \geq 0$  направлен вдоль некоторой оси симметрии ( $\theta = 0$ ). Объемный заряд в источнике сосредоточен в основном вблизи ударного фронта в слое толщиной  $v(\tau_p + \tau)$ , а также вокруг полости, где находится компенсирующий заряд противоположного знака. Если УВ не дошла до поверхности, то, интегрируя (1), (2) по объему, ограниченному радиусом  $r_\Phi = a + vt$ , получим дипольный момент. Учитывая, что интеграл набирается на длине  $v(\tau_p + \tau) \ll r_\Phi$ , можно считать функции  $r^2 P_0(r)$  и  $t(r)$ , стоящие под знаком интеграла в (3), постоянными.

В результате

$$(3) \quad d(t) = \int_V P(r, \theta, t) \cos \theta dV = \frac{4\pi \beta AD_* a^2}{3r_\Phi^{n-2}} \left[ \tau_p \left( 1 - e^{-\frac{t}{\tau_p}} \right) - \tau_* \left( 1 - e^{-\frac{t}{\tau_*}} \right) \right],$$

$$\tau_* = \tau_p \tau(r_\Phi) / [\tau_p + \tau(r_\Phi)].$$

Симметричная часть (1) не влияет на дипольный момент (3) и не дает никакого вклада во внешнее поле.

Возьмем следующие значения параметров:  $D_* = 10$  ГПа,  $a = 10$  м,  $\beta = 0,1$ ,  $v = 3 \cdot 10^3$  м/с. Для данных величин можно считать выполнеными условия  $a/v\tau_p$ ,  $a/v\tau_* \gg 1$ . Кроме того, на больших расстояниях фронт становится достаточно протяженным, так что выполняется условие  $\tau \gg \tau_p$ . Учитывая эти обстоятельства, заменим (3) приближенным выражением вида

$$(4) \quad d(t) = 4\pi B \left[ \tau_* e^{-\frac{t}{\tau_*}} - \tau_p e^{-\frac{t}{\tau_p}} + \frac{\tau_p - \tau_*}{(1+t/\tau_m)^n} \right], \quad B = \frac{\beta AD_* a^2 v}{3},$$

где  $\tau_m = a/v$ ;  $n = 2(n-1)$ ; здесь и далее  $\tau_* = \tau_p \tau(r_\Phi) / (\tau_p + \tau(r_\Phi))$ .

Пусть расстояние от центра полости до поверхности среды равно  $l$ , причем эффективный диполь, образованный УВ, составляет с осью  $z$  угол  $\alpha$  (рис. 1). Среда, в которой находится диполь, проводящая, немагнитная ( $z < 0$ ) и граничит с вакуумом ( $z > 0$ ). Рассмотрим электромагнитное поле на поверхности  $z = 0$ , ограничившись расстояниями  $\rho$  (полярный радиус), для которых волновые числа  $k = \omega/c$  и  $\gamma = \sqrt{i\sigma\mu_0\omega}$  удовлетворяют условиям  $k\rho \ll 1$  и  $|\gamma|\rho \gg 1$ , т. е. рассмотрим ближнюю зону. Эти не-

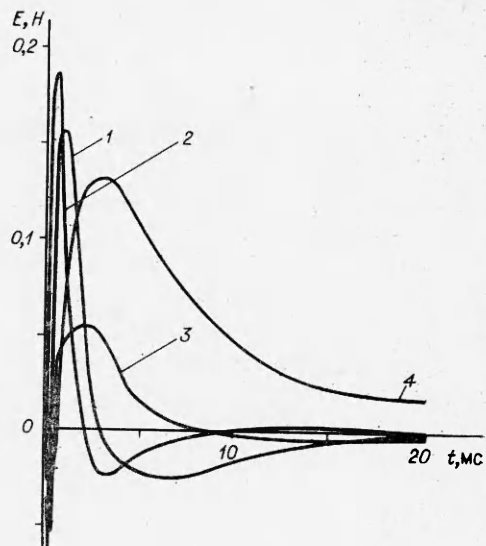


Рис. 2

равенства справедливы в диапазоне частот  $(\rho^2 \sigma \mu_0)^{-1} \ll \omega \ll c/\rho$ . Компоненты электромагнитного поля с учетом граничных условий на поверхности получены в [11] (полярные координаты):

$$(5) \quad E_{\kappa} = \frac{\omega d(\omega) e_{\kappa}}{2\pi\rho^3} e^{2i\sqrt{i\omega\tau_0}}, \quad H_{\kappa} = \frac{\omega d(\omega) h_{\kappa}}{2\pi\rho^3} e^{2i\sqrt{i\omega\tau_0}},$$

$$\begin{aligned} e_z &= -(\omega\tau_1 \cos \alpha + \gamma\rho \sin \alpha \cos \varphi), \quad e_{\varphi} = -ih_{\rho} = -2i \sin \alpha \sin \varphi, \\ e_{\rho} &= i(\gamma\rho\omega\tau_1 \cos \alpha - \sin \alpha \cos \varphi), \quad h_z = 3i \sin \alpha \sin \varphi/\gamma\rho, \\ h_{\varphi} &= -(\omega\tau_1\gamma\rho \cos \alpha + \sin \alpha \cos \varphi), \quad \tau_0 = \sigma\mu_0 l^2/4, \quad \tau_1 = \varepsilon_0/\sigma. \end{aligned}$$

Здесь угол  $\varphi$  отсчитывается от полярной оси, на которую проектируется вектор дипольного момента. Зависимость от глубины  $l$ , учтенная в (5) приближенно, переходит в точную при  $\omega\rho \sim c$ . Фурье-образ дипольного момента (4) имеет вид

$$(6) \quad d(\omega) = 4\pi B \left[ \frac{\tau_*^2}{1 - i\omega\tau_*} - \frac{\tau_p^2}{1 - i\omega\tau_p} + (\tau_p - \tau_*) \tau_m \int_1^{\infty} \frac{e^{i\omega\tau_m(x-1)}}{x^m} dx \right].$$

Исследуем особенности частотного спектра сигнала, подставляя (6) в (5). Полясные члены приводят к резким максимумам  $|E_{\kappa}|$  и  $|H_{\kappa}|$  при  $\omega \sim \sim \tau_p^{-1}$  и  $\omega \sim \tau_*^{-1}$ , а последнее слагаемое в (6) дает заметный вклад в области частот  $\omega \leqslant \tau_m^{-1} \sim 3 \cdot 10^2 \text{ с}^{-1}$ , так как в противоположном случае под интегралом стоит быстроосциллирующая функция. При  $\omega \rightarrow 0$  поля обращаются в нуль, поэтому в низкочастотной области спектра также может быть максимум, определяемый характерным временем развития УВ  $\tau_m$ . Если электропроводность среды  $\sigma = 10^{-2} - 10^{-3} \text{ Ом}^{-1}\text{м}^{-1}$  и  $\rho \sim 1 - 10 \text{ км}$ , то максимумы спектра приходятся на интервал частот, где справедливы соотношения (5), т. е. относятся к радиодиапазону, что подтверждается экспериментально.

Для оценки зависимости сигнала от времени можно интегрировать (5), (6) по всем частотам, поскольку при низких частотах поля стремятся к нулю, а вклад высоких частот в силу множителя  $\exp(2i\sqrt{i\omega\tau_0})$  экспоненциально мал. Таким образом,

$$(7) \quad E_{\kappa}(\rho, t) = \frac{1}{2\pi} \int_{-\infty}^{\infty} E_{\kappa}(\rho, \omega) e^{-i\omega t} d\omega,$$

где  $E_{\kappa}$  и  $H_{\kappa}$  определяются формулами (5), (6). В области максимумов подынтегрального выражения  $\omega\tau_1 \ll 1$ , поэтому поле будет обусловлено в основном горизонтальной составляющей диполя. Типичный интеграл, который получается при подстановке полюсных членов в (7), запишем в виде

$$(8) \quad R_s = \int_{-\infty}^{\infty} \frac{\omega^{s/2} e^{(i-1)\sqrt{2\omega\tau_0 - i\omega t}}}{1 - i\omega\tau_*} d\omega, \quad s = 0, 1, 2, 3;$$

причем контур интегрирования огибает точку ветвления  $\omega = 0$  сверху и проходит по листу, удовлетворяющему условию затухания волны в бесконечности. Подставим в (8) выражение

$$\frac{1}{1 - i\omega\tau_*} = \int_{-\infty}^0 e^{y(1 - i\omega\tau_*)} dy,$$

справедливое при действительных  $\omega$ . Поскольку интегралы сходящиеся, то, меняя порядок интегрирования и сводя внутренние интегралы по час-

тотам к промежутку  $0, +\infty$ , найдем

$$(9) \quad R_s = \int_{-\infty}^0 e^y Q_s(y, \omega) dy, \text{ где } Q_0 = 2 \int_0^{\infty} e^{-V^{2\omega\tau_0}} \cos w d\omega, w = 2\sqrt{\omega\tau_0} - \omega t',$$

$$Q_1 = (i+1) \int_0^{\infty} e^{-V^{2\omega\tau_0}} (\sin w + \cos w) V \bar{\omega} d\omega,$$

$$Q_2 = i \frac{dQ_0}{dt'}, \quad Q_3 = i \frac{dQ_1}{dt'}, \quad i' = t + y\tau_*.$$

Заменой  $z = V \bar{\omega}$  интегралы  $Q_0, Q_1$  сводятся к табличным [12]. При этом формулы (9) принимают вид

$$(10) \quad R_0 = \frac{2\sqrt{\pi\tau_0}}{\tau_*} e^{-t/\tau_*} \int_0^t e^{t'/\tau_*} L_0(t') dt',$$

$$R_1 = -\frac{(i+1)}{\tau_*} \sqrt{\frac{\pi}{2}} e^{-t/\tau_*} \int_0^t e^{t'/\tau_*} L_1(t') dt',$$

$$R_2 = (i/\tau_*) [2\sqrt{\pi\tau_0} L_0(t) - R_0(t)], \quad R_3 = (-i/\tau_*) [(i+1)\sqrt{\pi/2} L_1(t) + R_1(t)],$$

$$L_0(t) = e^{-\tau_0/t} t^{-3/2}, \quad L_1(t) = e^{-\tau_0/t} t^{-5/2} (t - 2\tau_0).$$

Слагаемое, зависящее от  $\tau_p$ , получается из (10) заменой  $\tau_*$  на  $\tau_p$  и изменением везде знака на противоположный. Интегралы (10) удобнее исходного выражения (8) и в дальнейшем будут использоваться при анализе.

Вычислим вклад, обусловленный последним слагаемым в (6). Подставляя его в (7) и меняя порядок интегрирования (интегралы сходятся), получаем

$$(11) \quad T_s^{(m)} = \int_1^\infty \frac{dx}{x^m} \int_{-\infty}^0 \omega^{s/2} e^{(i-1)\sqrt{2\omega\tau_0} - \frac{i\omega}{2} t''} d\omega, \quad t'' = t - \tau_m(x-1), \quad s = 0, 1, 2, 3.$$

Внутренние интегралы в (11) выражаются через функции  $Q_0, Q_1$  (9).

После аналогичных преобразований имеем

$$(12) \quad T_0^{(m)} = \frac{2\sqrt{\pi\tau_0}}{\tau_m} \int_0^t \frac{L_0(t') dt'}{[1 + (t - t')/\tau_m]^m}, \quad T_1^{(m)} =$$

$$= -\frac{(i+1)}{\tau_m} \sqrt{\frac{\pi}{2}} \int_0^t \frac{L_1(t') dt'}{[1 + (t - t')/\tau_m]^m},$$

$$T_2^{(m)} = \frac{i}{\tau_m} [2\sqrt{\pi\tau_0} L_0(t) - m T_0^{(m+1)}(t)], \quad T_3^{(m)} =$$

$$= -\frac{i}{\tau_m} [(i+1)\sqrt{\frac{\pi}{2}} L_1(t) + m T_1^{(m+1)}(t)].$$

Компоненты электромагнитного поля выражаются через функции (10), (12):

$$(13) \quad E_z = \frac{(i+1)B}{\pi\sigma^2} \sqrt{\frac{\mu_0}{2\sigma}} \sin \alpha \cos \varphi [\tau_p^2 R_{3p} - \tau_*^2 R_{3*} - (\tau_p - \tau_*) \tau_m T_3^{(m)}],$$

$$E_\rho = \frac{ctg \varphi}{2} E_\varphi = \frac{iB \sin \alpha \cos \varphi}{\pi\sigma\rho^3} [\tau_p^2 R_{2p} - \tau_*^2 R_{2*} - (\tau_p - \tau_*) \tau_m T_2^{(m)}],$$

$$H_z = \frac{3B \sin \alpha \sin \varphi}{\pi\sigma\mu_0\rho^4} [\tau_*^2 R_{0*} - \tau_p^2 R_{0p} + (\tau_p - \tau_*) \tau_m T_0^{(m)}],$$

$$H_\rho = -2 \operatorname{tg} \varphi H_\varphi = \frac{(i-1)\sqrt{2}B \sin \alpha \sin \varphi}{\pi\rho^3 \sqrt{\sigma\mu_0}} [\tau_p^2 R_{1p} - \tau_*^2 R_{1*} - (\tau_p - \tau_*) \tau_m T_1^{(m)}].$$

При  $l = 5 \cdot 10^2$  м и  $\sigma = 10^{-3}$  Ом $^{-1}$  м $^{-1}$  параметр  $\tau_0 \sim 8 \cdot 10^{-5}$  с. В этом случае четыре параметра времени, определяющие особенности сигнала на поверхности, расположены в следующем порядке:  $\tau_m \gg \tau_p > \tau_* \gg \tau_0$ .

Исследуем более подробно поведение компоненты  $E_\rho$ , представляя ее в виде разности двух слагаемых:

$$(14) \quad E_\rho = E_0 \sqrt{\tau_0} \left( N_0 - \frac{m(\tau_p - \tau_*)}{\tau_m} N_{m+1} \right), \quad E_0 = \frac{2B \sin \alpha \cos \varphi}{\sqrt{\pi} \sigma \rho^3},$$

$$N_0 = \int_0^t \left( e^{\frac{t'-t}{\tau_p}} - e^{\frac{t'-t}{\tau_*}} \right) L_0(t') dt' > 0, \quad N_{m+1} = \int_0^t \frac{L_0(t') dt'}{[1 + (t - t')/\tau_m]^{m+1}} > 0.$$

В области  $t \ll \tau_*$ , разлагая экспоненты в интеграле  $N_0$  до линейных членов, после замены переменных  $t' = \tau_0/z^2$  найдем

$$(15) \quad N_0 = \frac{1}{\tau_\Phi} \left[ \sqrt{\frac{\pi}{\tau_0}} (t + 2\tau_0) \operatorname{erfc} \left( \sqrt{\frac{\tau_0}{t}} \right) - 2 \sqrt{t} e^{-\tau_0/t} \right].$$

Слагаемое  $N_{m+1}$  при  $t \ll \tau_m$  приводится к выражению

$$(16) \quad N_{m+1} = \sqrt{\frac{\pi}{\tau_0}} \operatorname{erfc} \left( \sqrt{\frac{\tau_0}{t}} \right).$$

Исследование (15), (16) показывает, что при  $t \ll \tau_* = \tau_* \tau_p / \tau_m$  ( $\tau_p - \tau_*$ )  $N_{m+1}/\tau_m \gg N_0$ . Сигнал имеет резкий фронт вступления с характерным временем  $\tau_0$ . В области  $\tau_* \ll t \ll \tau_*$ , где  $N_0 \gg (\tau_p - \tau_*) N_{m+1}/\tau_m$ , происходит смена знака, причем зависимость переходит в линейную (рис. 2, кривая I). Наибольшая амплитуда положительной фазы достигается при  $t \sim \tau_*$ ,  $\tau_p$  и составляет  $E_{\max} \sim E_0 \sim \beta A D_* v a^2 / \sigma \rho^3$ . Для выбранных значений параметров находим, что  $E_{\max} \sim 10^9 / \rho^3$  мкВ/м, где  $\rho$  в метрах.

При  $t \gg \tau_p$  произведем в интеграле  $N_0$  замену  $t' = \tau_p z^2$  и  $t' = \tau_* z^2$ :

$$(17) \quad N_0 = 2 \left\{ \frac{e^{-t/\tau_p}}{\sqrt{\tau_p}} \int_0^{\sqrt{t/\tau_p}} \frac{e^{z^2 - b_p^2/z^2}}{z^2} dz - \frac{e^{-t/\tau_*}}{\sqrt{\tau_*}} \int_0^{\sqrt{t/\tau_*}} \frac{e^{z^2 - b_*^2/z^2}}{z^2} dz \right\},$$

где  $b_p^2 = \tau_0/\tau_p$ ;  $b_*^2 = \tau_0/\tau_* \ll 1$ . Для оценки интеграла разобьем его на две области. При  $z > 1$  в показателе экспоненты в (17) можно оставить только первый член. Для  $0 < z < 1$  подынтегральная функция имеет резкий максимум при  $z \sim b$ , поэтому на данном промежутке в экспоненте существен второй член. Используя эти приближения и отбрасывая малые слагаемые, получаем оценку

$$N_0 \approx \sqrt{\frac{\pi}{\tau_0}} (e^{-t/\tau_p} - e^{-t/\tau_*}) + \frac{\tau_p - \tau_*}{t^{3/2}},$$

откуда видно, что в диапазоне  $\tau_p \ll t \ll \tau_m$  сигнал спадает экспоненциально (с характерным временем  $\tau_p$ ), а затем по закону  $t^{-3/2}$ , причем происходит смена знака:  $(\tau_p - \tau_*) N_{m+1}/\tau_m > N_0$ . При  $t \geq \tau_m$ , наоборот, величина  $E_\rho$  отрицательна. Для оценки интеграла  $N_{m+1}$  в этой области произведем замену:  $t' = \tau_0/z^2$ , после которой интеграл преобразуется к виду

$$(18) \quad N_{m+1} = \frac{2}{\sqrt{\tau_0} (1 + t/\tau_m)^{m+1}} \int_{\sqrt{\tau_0/t}}^\infty \frac{e^{-z^2} z^{2(m+1)}}{[z^2 - q^2]^{m+1}} dz, \quad q = \sqrt{\frac{\tau_0}{\tau_m + t}} \ll 1.$$

При  $z > 1$  в (18) можно пренебречь параметром  $q$ , а в области  $\sqrt{\tau_0/t} < z < 1$  экспонента  $\approx 1$ . Разобьем интеграл (18) на две области с учетом указанных упрощений. В этом случае ответ может быть получен в конечном виде интегрированием по частям. При целых  $m$  после отбрасывания малых членов имеем

$$(19) \quad N_{m+1} = \frac{2[1 + (\sqrt{\pi}/2) \operatorname{erfc}(1) + K_{m+1}]}{\sqrt{\tau_0} (1 + t/\tau_m)^{m+1}},$$

$$\text{где } K_1 = \frac{1}{2} \sqrt{\frac{\tau_0}{\tau_m + t}} \ln \frac{\sqrt{\tau_m + t} + \sqrt{t}}{\sqrt{\tau_m + t} - \sqrt{t}}; \quad K_2 = \frac{\sqrt{\tau_0 t}}{2\tau_m} + \frac{3}{2} K_1; \quad K_3 = \frac{\sqrt{\tau_0 t}}{4\tau_m} \left( \frac{9}{2} + \frac{t}{\tau_m} \right) + \frac{15}{8} K_1.$$

Отметим, что полученные оценки применимы в более широкой области:  $t \gg \tau_0$ ; причем в диапазоне  $\tau_0 \ll t \ll \tau_m$ , где справедливо приближение  $K_m = m \sqrt{\tau_0 t / \tau_m} \sqrt{2}$ , формулы (16), (19) дают одинаковый результат с точностью до числового множителя  $\sim 1$ . Таким образом, асимптотика сигнала в области  $t \geq \tau_m$  дается выражением

$$E_\varphi = - \frac{2m(\tau_p - \tau_*) E_0}{\tau_m (1 + t/\tau_m)^{m+1}} \left[ 1 + \frac{\sqrt{\pi}}{2} \operatorname{erfc}(1) + \sqrt{\frac{\tau_0}{2}} \tau_m^{-m} \left( \frac{t}{2} \right)^{m-1/2} \right].$$

Максимальное по модулю значение отрицательной фазы примерно в  $\tau_p/\tau_m$  раз меньше положительной и достигается при  $t \sim \tau_m$ . Характерный вид электрического  $E$  и магнитного  $H$  сигналов показан на рис. 2. Расчеты проведены при указанных выше значениях параметров. Кривыми 1—4 обозначены безразмерные зависимости  $E_\rho/E_0$ ,  $E_z/E_{00}$ ,  $3H_\rho l/40H_{00}$ ,  $H_z/l/20H_0$  соответственно. К области  $t < 10^{-3}$  с, где у функций есть пики либо осцилляции, следует отнести более критично, поскольку вклад высоких частот учитывался приближенно.

Не рассмотренный в работе выход УВ на поверхность приводит к образованию вертикальной компоненты диполя. Обычно на этой стадии волна переходит в упругий режим с низкими давлениями и поэтому не оказывает заметного влияния на электромагнитные поля.

Отметим роль масштабного фактора. Так, если размеры образца меньше области релаксации, размер которой  $\sim v(\tau + \tau_p)$ , то форма приводимого выше сигнала меняется. Вступление сигнала определяется временем  $\tau_m$ , а спад — релаксацией поляризации в данном материале либо характером разгрузки поверхности образца.

Исследуем компоненту  $H_z$ , также разбивая выражение на два слагаемых:

$$(20) \quad H_z = \frac{H_0}{\sqrt{\tau_0}} (N_m - S_0), \quad H_0 = \frac{3B \sin \alpha \sin \varphi l^2}{2 \sqrt{\pi} \rho^4}, \quad S_0 = \int_0^t \left( \tau_p e^{\frac{t'-t}{\tau_p}} - \tau_* e^{\frac{t'-t}{\tau_*}} \right) L_0(t') dt',$$

где  $N_m$  определяется соотношением, аналогичным (14) (для  $N_{m+1}$ ). При  $t \ll \tau_*$  разложим подынтегральные функции в (20) по параметрам  $(t - t')/\tau_*$ ,  $(t - t')/\tau_p$ ,  $(t - t')/\tau_m$ , учитывая, что в выражении для  $S_0$  члены первого порядка малости сокращаются. Интегралы от первых неисчезающих членов разложения вычисляются аналогично (15). В результате

$$(21) \quad H_z = \frac{H_0}{\sqrt{\tau_0}} \left\{ \frac{1}{2\tau_p} \left[ \sqrt{\frac{\pi}{\tau_0}} \left( t^2 + 4t\tau_0 + \frac{4}{3}\tau_0^2 \right) \operatorname{erfc} \left( \sqrt{\frac{\tau_0}{t}} \right) - \frac{2}{3} \sqrt{t} (2\tau_0 + 5t) e^{-\tau_p/t} \right] - t_* N_0 \right\},$$

выражение для  $N_0$  приведено в (15). В диапазоне  $\tau_0 \ll t \ll \tau_*$  (21) принимает вид

$$H_z = \frac{H_0 \sqrt{\pi} t (t - t_*)}{\tau_0 \tau_p},$$

откуда видно, что функция знакопеременная.

Максимальное значение  $|H_z|$  в этой области при  $t \sim t_*$  составляет величину  $H_{\max} \sim H_0 t_*^2 / \tau_0 \tau_\phi \sim \beta A D_* v^3 \tau_*^2 \tau_p^2 / \mu_0 \sigma \tau_\phi \rho^4 \sim 10^7 / \rho^4$  А/м (ρ в метрах). При  $t > \tau_m$  убывание сигнала определяется асимптотикой выражения для  $N_m$ . Так, при  $m = 1$   $H_z \sim \ln(t/\tau_m)(1 + t/\tau_m)^{-1}$ , а при  $m = 2$   $H_z \sim \sqrt{t}/(1 + t/\tau_m)^2$ . Максимальное значение  $H_z$  в области  $t \sim \tau_m$  приблизительно в  $\tau_m^2/\tau_p^2$  раз больше  $H_{\max}$ . Вид сигнала приведен на рис. 2 кривой 4.

Сходный характер поведения, как показывают исследования, обнаруживают компоненты  $E_z$  и  $H_\rho$ . Поэтому приведем лишь асимптотические выражения при  $t > \tau_m$ . Типичные интегралы, встречающиеся при расчетах, оцениваются, как и интегралы (17), (18), разбиением на два промежутка. После отбрасывания малых величин получаем

$$E_z = E_0 \frac{\rho}{l} \left[ \frac{(\tau_p - \tau_*) \sqrt{\tau_0}}{t^{3/2}} + \frac{2m(\tau_p - \tau_*)}{\tau_m (1 + t/\tau_m)^{m+1}} \left\{ \frac{\sqrt{\pi}}{2} \operatorname{erfc}(1) - \frac{1}{3} - K_{m+1} \right\} \right],$$

$$H_\rho = H_0 \frac{2\rho}{3l} \left[ \frac{\tau_p^2 - \tau_*^2}{\sqrt{\tau_0} t^{3/2}} + \frac{2(\tau_p - \tau_*)}{\tau_0 (1 + t/\tau_m)^m} \left\{ \frac{\sqrt{\pi}}{2} \operatorname{erfc}(1) - \frac{1}{3} - K_m \right\} \right].$$

Передняя часть возмущения для этих компонент может иметь как монотонный, так и знакопеременный характер. Это связано с тем, что функция  $L_1(t)$  в отличие от  $L_0(t)$  меняет знак при  $t = 2\tau_0$ , и, следовательно, вклады в интеграл областей  $t < 2\tau_0$  и  $t > 2\tau_0$  могут друг друга взаимно компенсировать. Приведем в заключение оценки амплитуд возмущений, полученные при  $\tau_p - \tau_* = 5 \cdot 10^{-4}$  с:  $E_z \sim E_0 (\tau_p - \tau_*) \rho / l \tau_m \sim 10^6 / \rho^2$  мкВ/м и соответственно  $H_\rho \sim H_0 (\tau_p - \tau_*) \rho / l \tau_0 \sim 10^5 / \rho^3$  А/м. Максимальные значения этих компонент в отличие от предыдущих уменьшаются с глубиной  $l$  образования УВ. Сравнение численных значений показывает, что на расстоянии  $\rho \sim 1$  км все составляющие электрического вектора имеют одинаковый порядок, однако на больших расстояниях  $E_z$  убывает медленнее. При  $\rho \geq 1$  км компоненты  $H_\rho$  и  $H_\phi$  больше, чем  $H_z$ .

Наличие в сигнале пика малой длительности  $\sim \tau_p$ ,  $\tau_\phi$  для всех компонент поля связано с быстрым изменением дипольного момента на начальной стадии процесса. Когда размер зоны релаксации становится мал по сравнению с расстоянием, пройденным УВ, дипольный момент изменяется лишь за счет увеличения объема поляризованного вещества и снижения амплитуды волны. Уменьшение электромагнитного поля на этой стадии определяется характерным механическим временем развития УВ, т. е. величиной  $\tau_m = a/v$  или  $r_\phi/v$ . Так, в [13] экспериментально установлено, что время релаксации электромагнитного импульса  $\sim W^{1/3}$ , где  $W$  — энергия взрыва. Этот факт может быть объяснен тем, что величины  $a$  и  $r_\phi \sim W^{1/3}$ . Коэффициент пропорциональности совпадает с данными [13], если в качестве  $r_\phi$  брать радиусы зон разрушения.

Отличие частотного спектра — существование максимумов в радиодиапазоне, что согласуется с данными [3—6, 13]. Характерная длина электромагнитной волны в этом случае намного больше глубины  $l$ . С этим связана слабая зависимость пиковых значений напряженностей от  $l$ .

Таким образом, рассмотренный в работе эффект механической электризации конденсированной среды под действием УВ позволяет объяснить наблюдаемые экспериментально закономерности, в частности величину и форму электромагнитного сигнала на поверхности, частотный спектр.

В заключение автор благодарит В. К. Сироткина и А. С. Чернова за полезные советы.

#### ЛИТЕРАТУРА

1. Минеев В. И., Иванов А. Г. ЭДС, возникающая при ударном сжатии вещества.— УФН, 1976, т. 119, № 1.
2. Бивин Ю. К., Викторов В. В. и др. Электромагнитное излучение при динамическом деформировании различных материалов.— Изв. АН СССР. МТТ, 1982, № 1.

3. Гохберг М. Б., Пилипенко В. А., Похотов О. А. Наблюдения со спутника электромагнитного излучения над эпицентральной областью готовящегося землетрясения.— ДАН СССР, 1983, т. 268, № 1.
4. Демин В. М., Соболев Г. А. и др. О природе механоэлектрического излучения рудных тел.— ДАН СССР, 1981, т. 260, № 2.
5. Хатиашвили Н. Г., Переильман М. Е. Генерация электромагнитного излучения при прохождении акустических волн через кристаллические диэлектрики и некоторые горные породы.— ДАН СССР, 1982, т. 263, № 4.
6. Переильман М. Е., Хатиашвили Н. Г. Генерация электромагнитного излучения при колебаниях двойных электрических слоев и его проявления при землетрясениях.— ДАН СССР, 1983, т. 271, № 1.
7. Финкель В. М., Тялин Ю. И. и др. Электризация щелочно-галоидных кристаллов в процессе скола.— ФТТ, 1979, т. 24, № 7.
8. Балбачан М. Я., Пархоменко Э. И. Электретный эффект при разрушении горных пород.— Изв. АН СССР. Физика Земли, 1983, № 3.
9. Молоцкий М. И. Дислокационный механизм электризации ионных кристаллов при расщеплении.— ФТТ, 1976, т. 18, № 6.
10. Григорьев В. Г., Немиров А. С., Сироткин В. К. Структура ударных волн в упругопластических релаксирующих средах.— ПМТФ, 1979, № 1.
11. Wait J. R. The electromagnetic fields of a horizontal dipole in the presence of a conducting half-space.— Can. J. Phys., 1961, v. 39, N 7.
12. Прудников А. П., Брычков Ю. А., Маричев О. И. Интегралы и ряды. М.: Наука, 1981.
13. Zablocki C. J. Electrical transient observed during underground nuclear explosions.— J. Geoph. Res., 1966, v. 71, N 14.

Поступила 24/IX 1984 г.

УДК 538.323:534.2

## ИНДУКЦИОННОЕ УСКОРЕНИЕ ПЛОСКИХ ТЕЛ

*A. M. Абрамов, A. A. Блохинцев, C. A. Калихман,  
B. И. Кузнецов, B. H. Фомакин,  
A. A. Царев  
(Чебоксары)*

Перспективное направление практического применения индукционного ускорения плоских тел — лабораторное изучение процессов, возникающих при высокоскоростном соударении. В отличие от других способов исследования подобных процессов [1] кольцевой проводник, ускоряемый электромагнитными силами, не подвергается дополнительному воздействию ускоряющей среды, в связи с чем значительно увеличивается чистота эксперимента.

Процессы высокоскоростного метания кольцевых проводников рассмотрены в [2, 3], где изучено влияние геометрических размеров ускоряющих систем, активного сопротивления, собственной индуктивности накопителя энергии и массы ускоряемого тела на преобразование энергии в ускорителе. В [4] получены аналитические выражения и кривые для расчетов, позволяющие выбрать оптимальный режим ускорения с учетом нагрева проводника протекающим током. Однако, поскольку в процессе разгона на проводник действует неравномерно распределенное магнитное поле, он перегревается в областях у внутреннего радиуса, деформируется и растрескивается. Таким образом, непосредственное использование проводника в качестве одного из соударяющихся тел ограничено.

В настоящей работе изложены результаты математического моделирования и экспериментального исследования процесса высокоскоростного метания кольцевых проводников по схеме, в которой соударяющееся тело разгоняется дополнительным кольцевым проводником. Данная схема позволяет также разгонять плохо проводящие (сталь, титан и т. д.) и диэлектрические материалы. Эксперименты проводились при варьировании параметров ускорителя и кольцевого проводника, характерных для изучения процессов высокоскоростного соударения тел.

1. Индукционный электромагнитный ускоритель кольцевых проводников (рис. 1, 1 — ускоряющий проводник, 2 — ускоряемое тело, 3 — индуктор) характеризуется электрическими параметрами емкостного накопителя энергии (ЕНЭ), индуктора, ускоряющего проводника и ускоряемого тела, проводящего или диэлектрического.

В электротехническом приближении процесс ускорения описывается системой дифференциальных уравнений, которая в относительных единицах имеет вид